

# 탄소섬유판으로 보강된 철근콘크리트 보의 휨거동해석

## Flexural Behavior of Reinforced Concrete Beams Strengthened by CFRP Plates

양동석\* 고병순\*\* 박선규\*\*\* 유영찬\*\*\* 최기선\*\*\*\*  
Yang, Dong Suk Koh, Byung Soon Park, Sun Kyu You, Young Chan Choi, Ki Sun

### ABSTRACT

This paper focuses on the flexural behavior of RC beams externally reinforced using Carbon Fiber Reinforced Plastics plates (CFRP). A non-linear finite element (FE) analysis is proposed in order to complete the experimental analysis of the flexural behaviour of the beams. This paper is a part of a complete program aiming to set up design formulate to predict the strength of CFRP strengthened beams, particularly when premature failure through plates-end shear or concrete cover delamination occurs.

An elasto-plastic behaviour is assumed for reinforced concrete and interface elements are used to model the bond and slip.

**Keywords :** CFRP, finite element analysis, bond and slip, delamination, flexural behavior

### 1. 서론

우리나라는 지난 수십년간 급속한 경제성장을 가져왔고 이로 인해 교통량의 증가나 환경의 변화 등이 발생하였고, 이러한 현상은 구조물에 많은 부담을 가중시켜 결과적으로 구조물의 노후화를 촉진시켰다. 이런 노후화된 구조물 중 콘크리트 구조물은 콘크리트의 균열 및 박리·박락, 철근의 부식 등이 발생하여 원래의 기능을 상실하게 되었다. 이러한 손상을 입은 구조물을 완전히 철거하고 새로 건설한다는 것은 경제적으로나 환경적으로 매우 좋지 않은 영향을 가져온다 할 수 있을 것이다.

본 연구에서는 외부 부착 공법으로 탄소섬유판으로 보강된 철근 콘크리트 보의 휨 실험을 통하여 탄소섬유판의 보강량과 보강길이에 따른 보강효과 등 실험변수에 따른 결과를 분석하고 비선형 유한요소 해석을 수행하여 탄소섬유판으로 외부 부착 휨보강한 실험체의 파괴 거동의 경향을 파악하고자 하였다.

\* 정회원, 성균관대학교 토폭환경공학과 박사수료

\*\* (주)삼보기술단, 구조부

\*\*\* 정회원, 성균관대학교 토폭환경공학과 교수

\*\*\*\* 한국건설기술 연구원 건축연구부 수석연구원

\*\*\*\*\* 한국건설기술 연구원 건축연구부 연구원

## 2. 탄소섬유판으로 보강된 RC보의 휨 실험

### 2.1 실험 개요

본 실험은 탄소섬유판으로 휨보강한 철근콘크리트 보의 보강효과를 평가하기 위하여 사용된 실험변수는 탄소섬유판의 보강량, 탄소섬유판의 부착길이 등에 따라 시험체 7개를 제작하였다. 자세한 실험변수와 실험체명은 표 3과 같다.

### 2.2 사용재료

본 실험에서 사용한 콘크리트 설계강도는 24 MPa, 슬럼프는  $15.0 \pm 2.5$ cm으로 설계된 레미콘 제품을 사용하였다. 시험체에 사용된 철근은 설계항복응력 400MPa인 D10, D13 철근을 사용하였고, 탄소섬유판은 폭 50mm, 두께 1.3mm를 사용하였다. 실험에 사용된 콘크리트와 탄소섬유판의 물리적 특성은 표 1~2와 같다.

표 1 Properties of concrete

Compressive Strength(MPa)	Tensile Strength (MPa)	Young's modulus (MPa)
20.7	2.2	$2.16 \times 10^5$

표 2 Properties of CFRP

Thick (mm)	Tensile Strength (MPa)	Young's Modulus (MPa)
1.3	2891	$1.73 \times 10^6$

### 2.3 시험체 제작

시험체는 표 3과 같이 실험변수를 고려하여 7개를 제작하였으며, 시험체의 형상은 그림 1과 같고, 피복두께는 3cm, 상부철근은 D13을 이용하여 배근하였으며, 하부철근은 D10을 이용하여 배근하였다. 또한, 배력철근은 D10를 이용하여 10cm로 배근하여 시험체를 제작하였다.

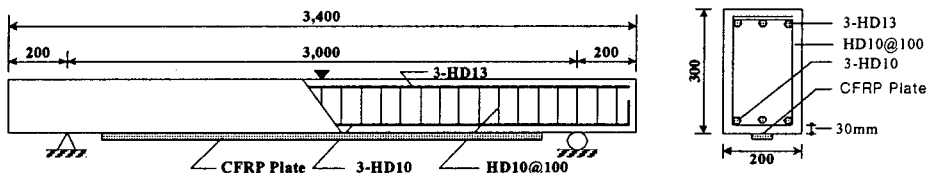


그림 1 Details of tested beams (unit : mm)

표 3 Details of tested beams

Beam	strengthening	layer	bond width (cm)	Bond ratio (%)	Bond length (cm)	Note
SBC	-	-	-	-	-	Control beam
SBF1-B1	CFRP Plate	1	5	60	180	Bond length
SBF1-B2		1	5	90	270	Bond length
SBF2-B1		2	5	60	180	layer
SBF2-B2		2	5	90	270	layer
SBW2-B1		1	10	60	180	Bond width
SBW2-B2		1	10	90	270	Bond width

## 2.4 재하 및 측정방법

탄소섬유판으로 휨보강한 철근콘크리트보의 휨 내력평가를 위한 하중재하는 3점 재하하였다. 시험체의 변위를 측정하기 위하여 중앙부에 변위계(LVDT)를 설치하였으며, 상부 및 하부철근·배력철근의 지간 중앙에 변형률계이지를 2개씩 콘크리트를 타설하기 전에 설치하고, 시험체의 중앙 상·하부면에 콘크리트 계이지를 설치하여 변형률을 측정하였다.

## 3. 비선형 유한요소해석

탄소섬유판으로 보강된 보의 비선형 유한요소 해석을 범용 유한요소 해석 프로그램인 DIANA를 이용하여 해석을 수행하였다. 그림 2와 같이 콘크리트의 소성모델로는 압축부에 Drucker-Prager 모델에 Mander 등(1998)이 제안한 응력-변형률 곡선을 적용하였고, 인장균열모델로는 smeared crack 모델을 사용하였다. 철근은 von-mises yield criterion 항복 조건을 가지며 항복후의 변형 경화율은 초기 탄성 계수의 2%를 적용한 탄소성 bilinear 모델을 사용하였고, 콘크리트와 탄소섬유판의 계면은 직접전단 부착실험을 통하여 산출된 직각삼각형 본드-슬립 모델을 이용하여 해석에 적용하였다. 탄소섬유판은 완전탄성체로서 파괴시까지 선형증가한다고 가정하였다.

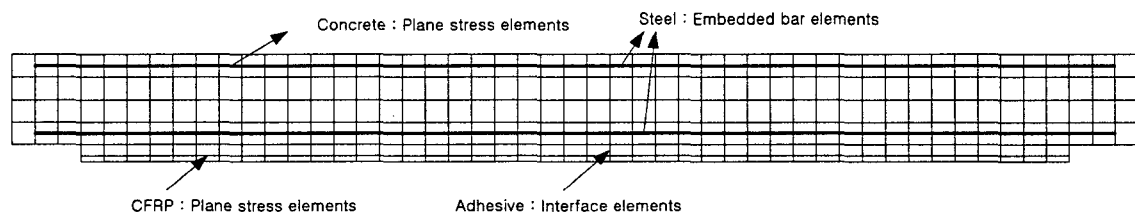


그림 2 Plane stress, embedded bar, and interface elements of the finite element mesh (B2)

## 4. 해석 및 실험결과 고찰

탄소섬유판으로 외부 부착 휨보강한 철근 콘크리트보의 휨 실험결과의 종합적인 양상은 표 4와 같다<sup>3)</sup>.

표 4 Results of tested beams

Beam	Yield load (kN)	Ultimate load (kN)	Mode of Failure
SBC	35.5	42.1	Flexural
SBF1-B1	49.5	64.2	Plate peel-off
SBF1-B2	49.6	60.5	Plate peel-off
SBF2-B1	-	55.7	Ripping-off
SBF2-B2	60.1	73.7	Plate peel-off
SBW2-B1	64.4	74.3	Ripping-off
SBW2-B2	63.2	92.9	Plate peel-off

### 4.1 보강량에 따른 비교

탄소섬유판을 지간길이의 60%, 90%로 부착한 시험체의 하중-처짐 곡선을 그림 3~4에 나타내었다. 탄소섬유판의 보강량의 증가에 따라서 휨강성과 항복하중은 증가하고, 동일한 부착길이를 갖는 실험체에서는 폭방향으로 보강량을 증가시키는 것이 탄소섬유판과 콘크리트의 부착면적을 증가시킴으로서 박리파괴를 자연시키는 휨 시험체의 거동특성을 적절하게 반영하고 있다.

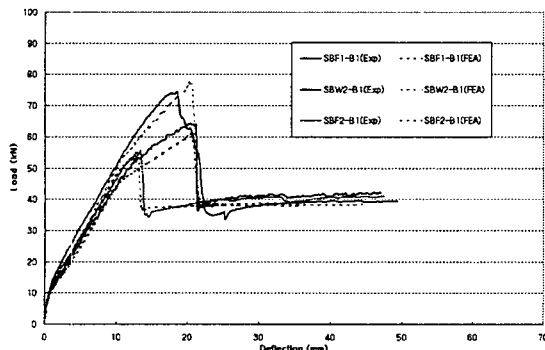


그림 3 Relation of load-deflection  
(SBF1-B1, SBF2-B1, SBW2-B1)

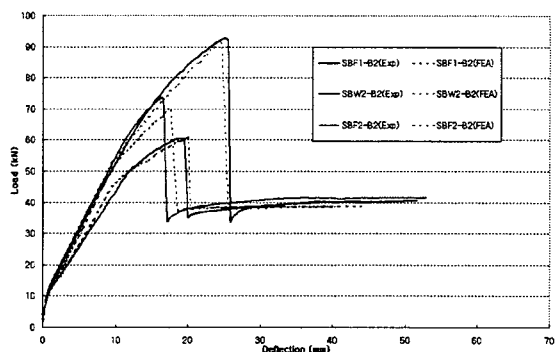


그림 4 Relation of load-deflection  
(SBF1-B2, SBF2-B2, SBW2-B2)

## 5. 결 론

본 논문에서는 탄소섬유판으로 휨보강한 철근콘크리트 보의 휨실험 결과에 대한 비선형 유한요소해석 결과와의 비교·분석으로부터 다음과 같은 결론을 얻을 수 있었다.

- 1) 탄소섬유판으로 휨보강한 실험체는 동일한 보강량을 갖을 때 일정 부착길이 이상에서는 부착길이에 관계없이 초기박리하중은 일정한 것으로 나타났으며, 비선형유한요소해석에서 이를 비교적 정확히 예측하였다.
- 2) 탄소섬유판으로 보강한 실험체의 박리파괴 양상은 초기 박리현상이 발생된 이후 급작스런 박리가 발생되면서 매우 취성적인 파괴양상을 나타내는 것으로 나타났으며, 유한요소 해석결과에서도 이러한 거동특성이 비교적 정확히 예측됨으로 알 수 있었다.

## 참고문헌

1. 박중열, 황성일, 조홍동, 한상훈, "CFRP로 보강된 철근콘크리트 보의 거동 특성", 한국구조물진단학회, 제7권 제3호, pp. 125-131.
2. 양동석, 박선규, 이용학, "강연선 및 탄소섬유쉬트로 보강된 철근 콘크리트 보의 휨거동 특성", 한국콘크리트학회 논문집, 제 14권 제 2호, pp. 216-222
3. 유영찬외, 외부프리스트레스트 탄소섬유판에 의한 구조물 보강공법 개발, 건설교통부연구개발사업, E01-01, 2004
4. Arduini, M., and Nanni, A. (1997), "Parametric Study of Beams with Externally Bonded FRP Reinforcement", ACI Structural Journal, Vol. 94, No. 4, pp.493.-501
5. H. Yuan, J.G. Teng, R. Seracino, Z.S. Wu, J. Yao (2004), "Full-range behavior of FRP-to-concrete bonded joints" Engineering Structures, 26, pp.553.-565